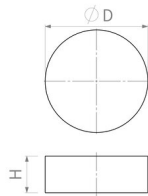


Aimants bruts en Néodyme-Fer-Bore (NdFeB)

Aimants cylindriques en NdFeB, jusqu'à 80°C



| Numéro d'article | Qualité | D mm | H mm | Force d'adhérence* N | Poids g | Température °C | Magnétisation |
|------------------|---------|---------------------------------------|--------------------------------------|----------------------|---------|----------------|---------------|
| RM002NdSb99ng25 | N48 | 2 ^{+0.1} / _{-0.1} | 2 ^{+0.1} / _{-0.1} | 1,5 | 0,1 | 80 | axiale |
| MNASm2.5x1 | N35 | 2.5 ^{+0.1} / _{-0.1} | 1 ^{+0.1} / _{-0.1} | 0,8 | 0,1 | 80 | axiale |
| RM003NdSb99ng38 | N48 | 3 ^{+0.1} / _{-0.1} | 1 ^{+0.1} / _{-0.1} | 1,9 | 0,1 | 80 | axiale |
| RM003NdSb99ng39 | N52 | 3 ^{+0.1} / _{-0.1} | 2 ^{+0.1} / _{-0.1} | 3,2 | 0,1 | 80 | axiale |
| RM003NdSb99ng40 | N45 | 3 ^{+0.1} / _{-0.1} | 3 ^{+0.1} / _{-0.1} | 3,3 | 0,2 | 80 | axiale |
| MNASm3x2 | N35 | 3 ^{+0.1} / _{-0.1} | 2 ^{+0.1} / _{-0.1} | 1,5 | 0,1 | 80 | axiale |
| RM004NdSb99ng34 | N45 | 4 ^{+0.1} / _{-0.1} | 2 ^{+0.1} / _{-0.1} | 4,2 | 0,2 | 80 | axiale |
| RM004NdSb99ng35 | N45 | 4 ^{+0.1} / _{-0.1} | 4 ^{+0.1} / _{-0.1} | 6,5 | 0,4 | 80 | axiale |
| MNASm4x3 | N35 | 4 ^{+0.1} / _{-0.1} | 3 ^{+0.1} / _{-0.1} | 2,8 | 0,3 | 80 | axiale |
| RM005NdSb99ng72 | N45 | 5 ^{+0.1} / _{-0.1} | 2 ^{+0.1} / _{-0.1} | 5,2 | 0,3 | 80 | axiale |
| RM005NdSb99ng73 | N52 | 5 ^{+0.1} / _{-0.1} | 2 ^{+0.1} / _{-0.1} | 6,8 | 0,3 | 80 | axiale |
| RM005NdSb99ng74 | N45 | 5 ^{+0.1} / _{-0.1} | 4 ^{+0.1} / _{-0.1} | 10 | 0,6 | 80 | axiale |
| MNASm5x3 | N35 | 5 ^{+0.1} / _{-0.1} | 3 ^{+0.1} / _{-0.1} | 5 | 0,5 | 80 | axiale |
| RM006NdSb99ng46 | N45 | 6 ^{+0.1} / _{-0.1} | 2 ^{+0.1} / _{-0.1} | 7 | 0,4 | 80 | axiale |
| RM006NdSb99ng47 | N45 | 6 ^{+0.1} / _{-0.1} | 3 ^{+0.1} / _{-0.1} | 9,9 | 0,6 | 80 | axiale |
| RM006NdSb99ng48 | N45 | 6 ^{+0.1} / _{-0.1} | 4 ^{+0.1} / _{-0.1} | 12 | 0,9 | 80 | axiale |
| RM006NdSb99ng50 | N48 | 6 ^{+0.1} / _{-0.1} | 6 ^{+0.1} / _{-0.1} | 15,5 | 1,3 | 80 | axiale |
| MNASm6x2 | N35 | 6 ^{+0.1} / _{-0.1} | 2 ^{+0.1} / _{-0.1} | 5,5 | 0,5 | 80 | axiale |
| MNASm6x3 | N35 | 6 ^{+0.1} / _{-0.1} | 3 ^{+0.1} / _{-0.1} | 7,5 | 0,7 | 80 | axiale |
| RM007NdSb99ng10 | N48 | 7 ^{+0.1} / _{-0.1} | 11 ^{+0.1} / _{-0.1} | 19 | 3,2 | 80 | axiale |
| RM007NdSb99ng16 | N35 | 7 ^{+0.1} / _{-0.1} | 6 ^{+0.1} / _{-0.1} | 12 | 1,7 | 80 | axiale |

| Numéro d'article | Qualité | D mm | H mm | Force d'adhérence* N | Poids g | Température °C | Magnétisation |
|------------------|---------|--|---------------------------------------|----------------------|---------|----------------|---------------|
| RM007NdSb99ng19 | N45 | 7 ^{+0.1} / _{-0.1} | 3 ^{+0.1} / _{-0.1} | 13 | 0,9 | 80 | axiale |
| RM008NdSb99ng41 | N45 | 8 ^{+0.1} / _{-0.1} | 2 ^{+0.1} / _{-0.1} | 11 | 0,8 | 80 | axiale |
| RM008NdSb99ng42 | N45 | 8 ^{+0.1} / _{-0.1} | 4 ^{+0.1} / _{-0.1} | 18 | 1,5 | 80 | axiale |
| RM008NdSb99ng43 | N45 | 8 ^{+0.1} / _{-0.1} | 8 ^{+0.1} / _{-0.1} | 25 | 3 | 80 | axiale |
| MNASm8x2 | N35 | 8 ^{+0.1} / _{-0.1} | 2 ^{+0.1} / _{-0.1} | 7 | 0,7 | 80 | axiale |
| MNASm8x3 | N35 | 8 ^{+0.1} / _{-0.1} | 3 ^{+0.1} / _{-0.1} | 10 | 1,1 | 80 | axiale |
| MNASm8x4 | N35 | 8 ^{+0.1} / _{-0.1} | 4 ^{+0.1} / _{-0.1} | 13 | 1,5 | 80 | axiale |
| RM009NdSb99ng07 | N50 | 9 ^{+0.1} / _{-0.1} | 5 ^{+0.1} / _{-0.1} | 24 | 2,4 | 80 | axiale |
| RM010NdSb99ng00 | N48 | 10 ^{+0.1} / _{-0.1} | 2,5 ^{+0.1} / _{-0.1} | 16 | 1,5 | 80 | axiale |
| RM010NdSb99ng04 | N48 | 10,3 ^{+0.1} / _{-0.1} | 1,5 ^{+0.1} / _{-0.1} | 9,5 | 1 | 80 | axial |
| RM010NdSb99ng51 | N35 | 10 ^{+0.1} / _{-0.1} | 4,5 ^{+0.1} / _{-0.1} | 21 | 2,7 | 80 | axial |
| RM010NdSb99ng90 | N45 | 10 ^{+0.1} / _{-0.1} | 5 ^{+0.1} / _{-0.1} | 26 | 3 | 80 | axial |
| RM010NdSb99ng91 | N52 | 10 ^{+0.1} / _{-0.1} | 5 ^{+0.1} / _{-0.1} | 33 | 3 | 80 | axial |
| RM010NdSb99ng92 | N45 | 10 ^{+0.1} / _{-0.1} | 10 ^{+0.1} / _{-0.1} | 39 | 6 | 80 | axial |
| MNASm10x1 | N35 | 10 ^{+0.1} / _{-0.1} | 1 ^{+0.1} / _{-0.1} | 5 | 0,7 | 80 | axial |
| MNASm10x2 | N35 | 10 ^{+0.1} / _{-0.1} | 2 ^{+0.1} / _{-0.1} | 10 | 1,2 | 80 | axial |
| MNASm10x2N48 | N48 | 10 ^{+0.1} / _{-0.1} | 2 ^{+0.1} / _{-0.1} | 12 | 1,2 | 80 | axial |
| MNASm10x3 | N35 | 10 ^{+0.1} / _{-0.1} | 3 ^{+0.1} / _{-0.1} | 15 | 1,7 | 80 | axial |
| MNASm10x5 | N35 | 10 ^{+0.1} / _{-0.1} | 5 ^{+0.1} / _{-0.1} | 21 | 2,8 | 80 | axial |
| MNASm10x6 | N35 | 10 ^{+0.1} / _{-0.1} | 6 ^{+0.1} / _{-0.1} | 25 | 3,4 | 80 | axial |
| MNASm10x10 | N35 | 10 ^{+0.1} / _{-0.1} | 10 ^{+0.1} / _{-0.1} | 32 | 5,9 | 80 | axial |
| RM012NdSb99ng04 | N35 | 12 ^{+0.1} / _{-0.1} | 6 ^{+0.1} / _{-0.1} | 33 | 5 | 80 | axial |
| RM012NdSb99ng20 | N45 | 12 ^{+0.1} / _{-0.1} | 3 ^{+0.1} / _{-0.1} | 22 | 2,5 | 80 | axial |
| RM012NdSb99ng41 | N45 | 12 ^{+0.1} / _{-0.1} | 2 ^{+0.1} / _{-0.1} | 18 | 1,7 | 80 | axial |
| RM012NdSb99ng42 | N45 | 12 ^{+0.1} / _{-0.1} | 4 ^{+0.1} / _{-0.1} | 31 | 3,4 | 80 | axial |
| RM012NdSb99ng43 | N45 | 12 ^{+0.1} / _{-0.1} | 6 ^{+0.1} / _{-0.1} | 45 | 5,1 | 80 | axial |
| MNASm12x2 | N35 | 12 ^{+0.1} / _{-0.1} | 2 ^{+0.1} / _{-0.1} | 13 | 1,7 | 80 | axial |
| MNASm12x3 | N35 | 12 ^{+0.1} / _{-0.1} | 3 ^{+0.1} / _{-0.1} | 20 | 2,5 | 80 | axial |
| RM013NdSb99ng06 | N50 | 13,3 ^{+0.1} / _{-0.1} | 12 ^{+0.1} / _{-0.1} | 73 | 13 | 80 | axial |

| Numéro d'article | Qualité | D mm | H mm | Force d'adhérence* N | Poids g | Température °C | Magnétisation |
|------------------|---------|--------------------------------------|---------------------------------------|----------------------|---------|----------------|---------------|
| RM013NdSb99ng13 | N45 | 13 ^{+0.1} / _{-0.1} | 1 ^{+0.1} / _{-0.1} | 8,5 | 1 | 80 | axial |
| RM013NdSb99ng14 | N45 | 13 ^{+0.1} / _{-0.1} | 2 ^{+0.1} / _{-0.1} | 15 | 2 | 80 | axial |
| MNASm14x4 | N35 | 14 ^{+0.1} / _{-0.1} | 4 ^{+0.1} / _{-0.1} | 30 | 4 | 80 | axial |
| RM015NdSb88ng02 | N35 | 15 ^{+0.1} / _{-0.1} | 3 ^{+0.1} / _{-0.1} | 33 | 4 | 80 | 2-polig axial |
| RM015NdSb99ng17 | N40 | 15 ^{+0.1} / _{-0.1} | 2 ^{+0.1} / _{-0.1} | 18 | 2,7 | 80 | axial |
| RM015NdSb99ng46 | N45 | 15 ^{+0.1} / _{-0.1} | 1 ^{+0.1} / _{-0.1} | 7 | 1,3 | 80 | axial |
| RM015NdSb99ng47 | N52 | 15 ^{+0.1} / _{-0.1} | 3 ^{+0.1} / _{-0.1} | 37 | 4 | 80 | axial |
| RM015NdSb99ng48 | N45 | 15 ^{+0.1} / _{-0.1} | 5 ^{+0.1} / _{-0.1} | 45 | 6,7 | 80 | axial |
| MNASm15x2 | N35 | 15 ^{+0.1} / _{-0.1} | 2 ^{+0.1} / _{-0.1} | 16 | 2,7 | 80 | axial |
| MNASm15x3 | N35 | 15 ^{+0.1} / _{-0.1} | 3 ^{+0.1} / _{-0.1} | 25 | 3,8 | 80 | axial |
| MNASm15x3.5 | N35 | 15 ^{+0.1} / _{-0.1} | 3,5 ^{+0.1} / _{-0.1} | 26 | 4,6 | 80 | axial |
| MNASm15x3.5N48 | N48 | 15 ^{+0.1} / _{-0.1} | 3,5 ^{+0.1} / _{-0.1} | 30 | 4,6 | 80 | axial |
| MNASm15x5 | N35 | 15 ^{+0.1} / _{-0.1} | 5 ^{+0.1} / _{-0.1} | 37 | 6,4 | 80 | axial |
| RM016NdSb99ng04 | N35 | 16 ^{+0.1} / _{-0.1} | 8 ^{+0.1} / _{-0.1} | 54 | 12 | 80 | axial |
| RM016NdSb99ng07 | N45 | 16 ^{+0.1} / _{-0.1} | 4 ^{+0.1} / _{-0.1} | 34 | 6 | 80 | axial |
| RM018NdSb99ng16 | N45 | 18 ^{+0.1} / _{-0.1} | 2 ^{+0.1} / _{-0.1} | 31 | 3,1 | 80 | axial |
| RM018NdSb99ng17 | N45 | 18 ^{+0.1} / _{-0.1} | 3 ^{+0.1} / _{-0.1} | 33 | 5,7 | 80 | axial |
| MNASm18x1.5 | N35 | 18 ^{+0.1} / _{-0.1} | 1,5 ^{+0.1} / _{-0.1} | 10 | 3,2 | 80 | axial |
| MNASm18x3 | N35 | 18 ^{+0.1} / _{-0.1} | 3 ^{+0.1} / _{-0.1} | 33 | 5,3 | 80 | axial |
| MNASm18x3_2P | N35 | 18 ^{+0.1} / _{-0.1} | 3 ^{+0.1} / _{-0.1} | 40 | 5,8 | 80 | 2-polig axial |
| MNASm18x4 | N35 | 18 ^{+0.1} / _{-0.1} | 4 ^{+0.1} / _{-0.1} | 35 | 7,5 | 80 | axial |
| RM020NdSb99ng30 | N52 | 20 ^{+0.1} / _{-0.1} | 2 ^{+0.1} / _{-0.1} | 34 | 4,7 | 80 | axial |
| RM020NdSb99ng31 | N45 | 20 ^{+0.1} / _{-0.1} | 3 ^{+0.1} / _{-0.1} | 41 | 7 | 80 | axial |
| RM022NdSb99ng04 | N45 | 22 ^{+0.1} / _{-0.1} | 4 ^{+0.1} / _{-0.1} | 65 | 11 | 80 | axial |
| RM023NdSb99ng00 | N35 | 23 ⁰ / _{-0.5} | 21 ^{+0.1} / _{-0.1} | 180 | 66 | 80 | axial |
| RM023NdSb99ng01 | N48 | 23 ⁰ / _{-0.5} | 21 ^{+0.1} / _{-0.1} | 230 | 66 | 80 | axial |
| RM023NdSb99ng02 | N35 | 23 ⁰ / _{-0.5} | 12 ^{+0.1} / _{-0.1} | 135 | 37 | 80 | axial |
| MNASm24x3 | N35 | 24 ^{+0.1} / _{-0.1} | 3 ^{+0.1} / _{-0.1} | 39 | 10 | 80 | axial |
| MNASm24x4 | N35 | 24 ^{+0.1} / _{-0.1} | 4 ^{+0.1} / _{-0.1} | 55 | 14 | 80 | axial |

| Numéro d'article | Qualité | D mm | H mm | Force d'adhérence* N | Poids g | Température °C | Magnétisation |
|------------------|---------|--------------------------------------|--------------------------------------|----------------------|---------|----------------|---------------|
| RM025NdSb99ng26 | N45 | 25 ^{+0.1} / _{-0.1} | 3 ^{+0.1} / _{-0.1} | 55 | 11 | 80 | axial |
| RM025NdSb99ng27 | N45 | 25 ^{+0.1} / _{-0.1} | 5 ^{+0.1} / _{-0.1} | 83 | 18 | 80 | axial |
| RM025NdSb99ng28 | N50 | 25 ^{+0.1} / _{-0.1} | 15 ^{+0.1} / _{-0.1} | 270 | 55 | 80 | axial |
| MNASm25x5 | N35 | 25 ^{+0.1} / _{-0.1} | 5 ^{+0.1} / _{-0.1} | 67 | 18 | 80 | axial |
| MNASm26x3_2P | N35 | 26 ^{+0.1} / _{-0.1} | 3 ^{+0.1} / _{-0.1} | 60 | 12 | 80 | 2-polig axial |
| RM030NdSb99ng05 | N45 | 30 ^{+0.1} / _{-0.1} | 10 ^{+0.1} / _{-0.1} | 200 | 54 | 80 | axial |
| RM032NdSb99ng01 | N35 | 32 ^{+0.1} / _{-0.1} | 3 ^{+0.1} / _{-0.1} | 54 | 18 | 80 | axial |
| RM035NdSb99ng01 | N45 | 35 ^{+0.1} / _{-0.1} | 10 ^{+0.1} / _{-0.1} | 240 | 72 | 80 | axial |
| RM038NdSb99ng04 | N35 | 38 ^{+0.1} / _{-0.1} | 4 ^{+0.1} / _{-0.1} | 76 | 34 | 80 | axial |
| RM040NdSb99ng04 | N40 | 40 ^{+0.1} / _{-0.1} | 4 ^{+0.1} / _{-0.1} | 94 | 38 | 80 | axial |
| RM040NdSb99ng08 | N45 | 40 ^{+0.1} / _{-0.1} | 5 ^{+0.1} / _{-0.1} | 160 | 47 | 80 | axial |
| RM048NdSb99ng02 | N35 | 48 ^{+0.1} / _{-0.1} | 5 ^{+0.1} / _{-0.1} | 125 | 68 | 80 | axial |
| RM056NdSb99ng00 | N42 | 56 ^{+0.2} / _{-0.2} | 6 ^{+0.1} / _{-0.1} | 188 | 112 | 80 | axial |

INFORMATIONS PRODUIT:

Les aimants NdFeB peuvent être fabriqués dans presque toutes les dimensions souhaitées et sans frais d'outillage. Pour cette raison, la fabrication de petites quantités est également possible. Les aimants sont recouverts de nickel-cuivre-nickel (NiCuNi) afin de les protéger contre la corrosion. La température indiquée se réfère à la température d'utilisation maximale du matériau. Cependant, la résistance peut être réduite due à la géométrie.

En alternative aux produits standard, nous proposons aussi des produits spécifiques à vos besoins:

- » Dimensions en fonction des besoins du client
- » Sens d'aimantation changé
- » Autres types d'aimantation
- » Autres qualités jusqu'à N54
- » Température d'utilisation élevée jusqu'à 220 °C
- » Autocollant d'un côté grâce à un film supplémentaire
- » Formes en fonction des besoins du client (par ex. cube, cône, sphère, segments)
- » Autres recouvrements (par ex. galvanisé, doré, recouvert d'époxy)

Aimantation suivant la hauteur (H)

* Les forces ont été déterminées à température ambiante sur une plaque polie en acier (S235JR selon DIN 10 025) d'une épaisseur de 10 mm (1kg~10N).

Un écart allant jusqu'à -10% par rapport à la valeur indiquée est possible dans des cas exceptionnels. En général, la valeur est dépassée. Le type

d'application (situation de montage, températures, contre-ancrage, etc.) influence parfois énormément les forces. Les valeurs indiquées sont données à titre indicatif. Demandez conseil à nos experts.